

Etude n°3

Cette étude porte sur le centre des masses, la matrice d'inertie et le moment cinétique d'un solide .

Cahier des charges :

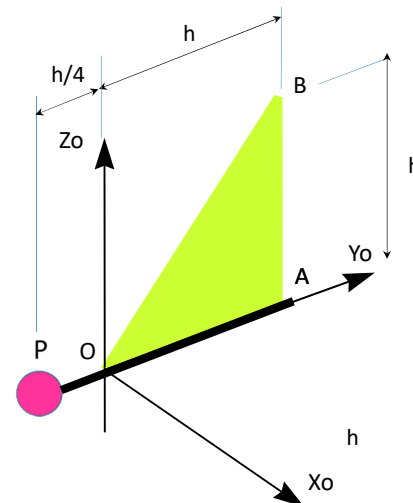
Concevoir un radar dont le châssis est parfaitement équilibré statiquement et dynamiquement



57

Etude n°3

Paramétrage 1



58

Etude n°3

Déséquilibre statique

The diagram shows a horizontal beam pivoted at point O . A pink sphere labeled P is located at a distance $h/4$ from the pivot. A green triangle labeled Gt is located at a distance h' from the pivot. Two vertical orange arrows represent gravitational forces: one pointing downwards at point P labeled $mp.g$, and another pointing downwards at point Gt labeled $mt.g$. A coordinate system Xo is shown to the left of the beam. The beam is in static equilibrium.

59

Etude n°3

Centre d'inertie (ou centre des masses)

On attribue désormais une quantité de matière au point courant M élément du solide S .

La mesure de la matière contenue est la masse.

On passe ainsi de la cinématique du solide à la **cinétique du solide...**

Hypothèse :

$$\forall M \text{ et } N \in S, \quad \forall t_1 \text{ et } t_2 : \quad m(S, t_1) = m(S, t_2)$$

→ La masse est dite « conservative ».

60

Etude n°3

En mécanique du point :

E ensemble fini de points Mi

$$\sum_{i=1}^{i=n} \overrightarrow{GM_i} \cdot m_i = \vec{0}$$

$$\overrightarrow{GM_1} \cdot m_1 + \overrightarrow{GM_2} \cdot m_2 = \vec{0}$$



$$dm = \rho \frac{dv}{dx dy dz}$$

En mécanique du solide :

S contient une infinité de points M

$$\sum \rightarrow \int_S$$

$$\text{En fait } \iiint$$

Mais en fait on peut choisir « dv » à sa guise, en fonction de la forme étudiée.

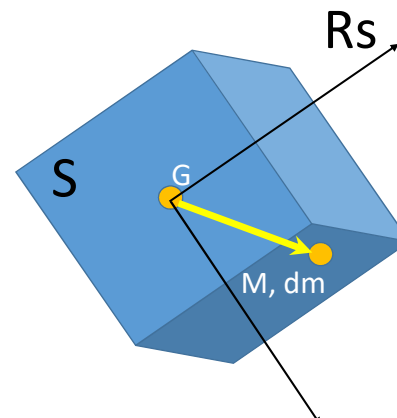
61

Etude n°3

G est centre d'inertie de S si et seulement si :

$$\int_S \overrightarrow{GM} \cdot dm = \vec{0}$$

Position de M relativement à G dans Rs, repère lié au solide S.



Propriétés de G :

- G est unique
- G ∈ axes de symétrie éventuels de S
- G n'est pas un point matériel de S (ex : un tube, G est sur l'axe)

62

Etude n°3

En pratique on désire souvent connaître $\vec{a}_{G \in S/R_0}$ pour écrire le PFD : $\vec{a}_{G \in S/R_0} = \left\{ \frac{d^2}{dt^2} \overrightarrow{OG} \right\}_{R_0}$

Le problème est de déterminer \overrightarrow{OG} .

$$\int_S \overrightarrow{GM} dm = \vec{0} \Leftrightarrow \int_S (\overrightarrow{GO} + \overrightarrow{OM}) dm = \vec{0} \Leftrightarrow \int_S \overrightarrow{GO} dm + \int_S \overrightarrow{OM} dm = \vec{0}$$

O centre de R_0

$$\overrightarrow{OG} \begin{vmatrix} x_G \\ y_G \\ z_G \end{vmatrix} \text{ et } \overrightarrow{OM} \begin{vmatrix} x \\ y \\ z \end{vmatrix}$$

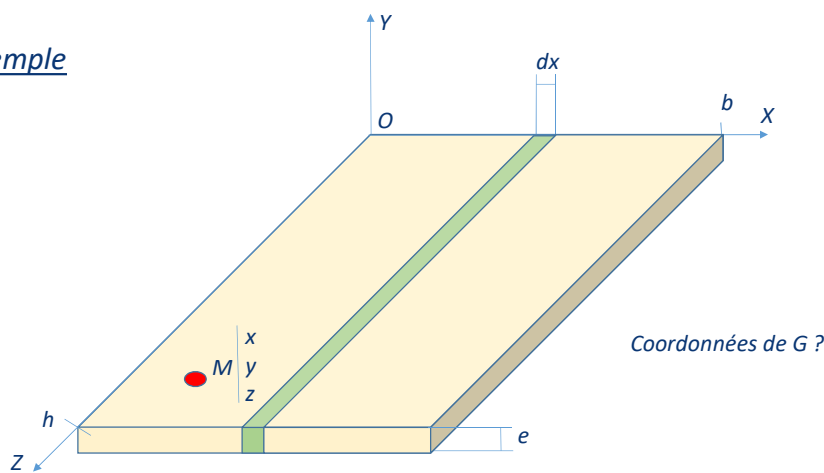
$dm = \rho dx dy dz$ ce n'est pas $\rho dx_G dy_G dz_G$ donc \overrightarrow{OG} est vu comme une constante

$$\Leftrightarrow \overrightarrow{GO} \underbrace{\int_S dm}_m + \int_S \overrightarrow{OM} dm = \vec{0} \Leftrightarrow \overrightarrow{OG} = \frac{1}{m} \int_S \overrightarrow{OM} dm$$

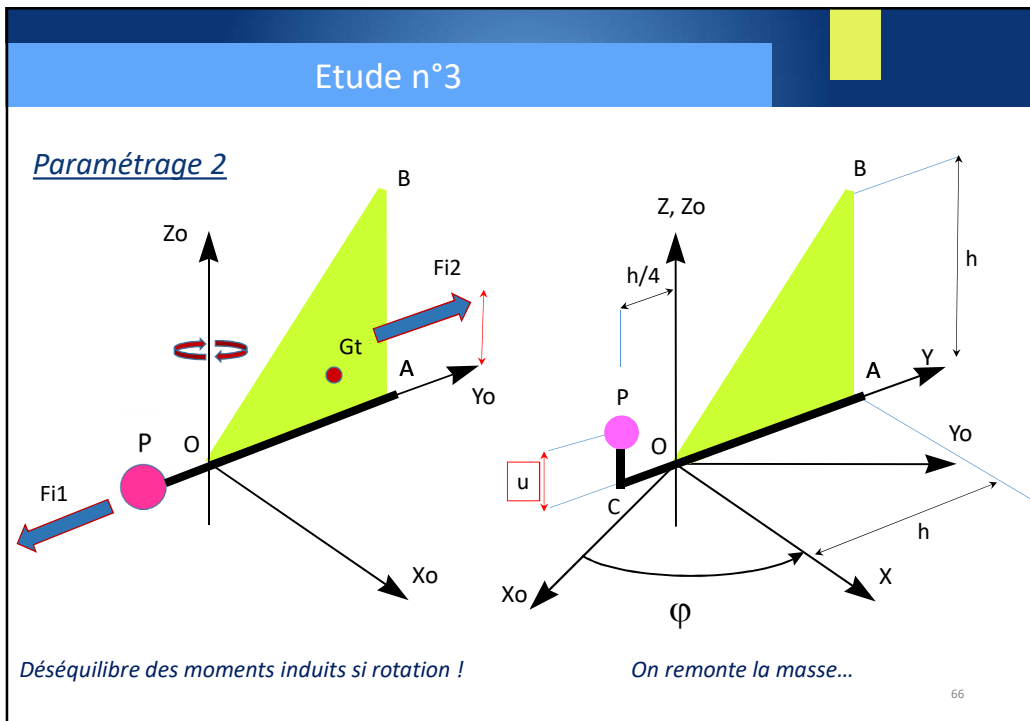
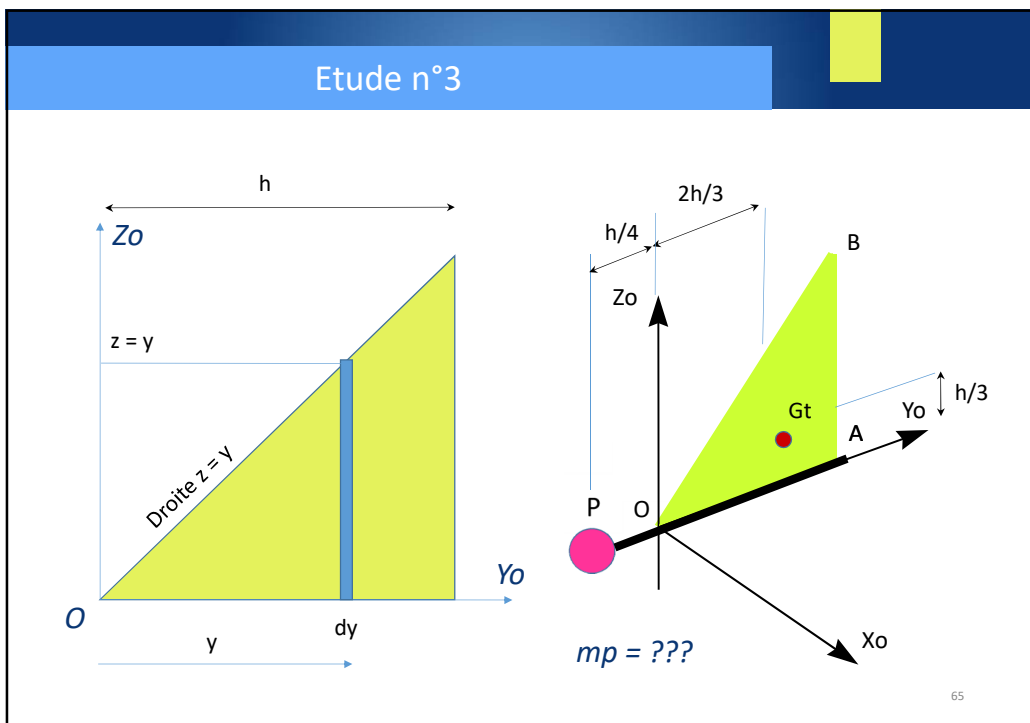
63

Etude n°3

Exemple



64



Etude n°3

Déséquilibre dynamique

Diagram illustrating dynamic equilibrium for two particles P and A.

Particle P (left):
 - Position: Angle $\varphi = \omega \cdot t$
 - Forces: F_{ip} (left), G_t (up), F_{it} (right), $m_p \cdot g$ (down).
 - Contact points with ground are marked with red and blue squares.

Particle A (right):
 - Position: Angle $\varphi = \omega \cdot t + \pi$
 - Forces: F_{ib} (left), $m_b \cdot g$ (down), F_{ia} (right), $m_a \cdot g$ (down).
 - Contact points with ground are marked with red and blue squares.

\rightarrow CHOCS

67

Etude n°3

Résultante cinétique (quantité de mouvement)

$\vec{P}_{(S/R_0)} = \int_S \vec{V}_{(M/R_0)} dm$ Encore appelée quantité de mouvement.

Or $\vec{V}_{M/R_0} = \left\{ \frac{d}{dt} \overrightarrow{OM} \right\}_{R_0} = \left\{ \frac{d}{dt} (\overrightarrow{OG} + \overrightarrow{GM}) \right\}_{R_0}$

$\Leftrightarrow \vec{P}_{S/R_0} = \int_S \vec{V}_{G/R_0} dm + \int_S \left\{ \frac{d}{dt} \overrightarrow{GM} \right\}_{R_0} dm$

ssi m est conservatif

$\vec{V}_{G/R_0} \underbrace{\int_S dm}_m + \left\{ \frac{d}{dt} \underbrace{\int_S \overrightarrow{GM} dm}_{\text{G centre d'inertie}} \right\}_{R_0}$

$\int \frac{d}{dt} = \frac{d}{dt} \int$

Enfin :
$$\boxed{\vec{P}_{S/R_0} = m \vec{V}_{G/R_0}}$$

Remarque : c'est surtout la conservation de \vec{P} qu'on utilise quand $\vec{F}_{S/S} = \vec{0}$

68

Etude n°3

* Si $F_{\bar{S}/S} = \vec{0}$ (\Leftrightarrow la force résultante est nulle)

$$\text{alors d'après PFD } m\vec{a}_{(G \in S/R_0)} = \vec{0} \Leftrightarrow \frac{d}{dt} \left\{ \underbrace{m\vec{V}_{(G \in S/R_0)}}_{\vec{P}_{S/R_0}} \right\}_{R_0} = \vec{0}$$

→ la résultante cinétique (quantité de mouvement) est constante (elle se conserve).

- De même si $\vec{m}_{\bar{S}/S} = \vec{0}$ (\Leftrightarrow le moment résultant est nul, c'est ce qu'on veut pour équilibrer !)

→ Alors le moment cinétique en G est constant (il se conserve).

Stratégie : on doit donc chercher à exprimer σ en fonction de u puis choisir u pour que σ soit constant...

69

Etude n°3

L'opérateur d'inertie

$\bar{I}_{(O_S, S)}$ appliquée à \vec{u}

$$\bar{I}_{(O_S, S)} \cdot \vec{u} = \int_S \underbrace{\overrightarrow{O_S M}}_{\substack{\text{Point d'écriture de la matrice.} \\ \text{C'est l'origine du repère lié à } S.}} \wedge (\vec{u} \wedge \overrightarrow{O_S M}) dm$$

Position de M dans le repère lié à S .

$\bar{I}_{(O_S, S)}$ matrice 3×3
 \vec{u} vecteur qui sera $\vec{\Omega}_{S/R}$

Si $\vec{u} = \vec{x} + \vec{y} + \vec{z}$

$$\bar{I}_{(O_S, S)} \cdot \vec{u} = \begin{pmatrix} \int_S (y_S^2 + z_S^2) dm & - \int_S (y_S x_S) dm & - \int_S (z_S x_S) dm \\ - \int_S (x_S y_S) dm & \int_S (x_S^2 + z_S^2) dm & - \int_S (z_S y_S) dm \\ - \int_S (x_S z_S) dm & - \int_S (y_S z_S) dm & \int_S (x_S^2 + y_S^2) dm \end{pmatrix} \cdot \begin{pmatrix} 1 \\ 1 \\ 1 \end{pmatrix}$$

70

Etude n°3

Moment cinétique

C'est le moment développé par la quantité de mouvement.

$$\vec{\sigma}_{(A,S/R_0)} = \int_S \vec{V}_{(M/R_0)} \wedge \overrightarrow{MA} dm$$

Après calculs, on aboutit à la relation toute intégrée (la relation ne contient plus de calculs d'intégrales, elles sont déjà calculées) :

$$\vec{\sigma}_{(A,S/R_0)} = m \overrightarrow{AG} \wedge \vec{V}_{O_s \in S/R_0} + \bar{I}_{(O_s,S)} \cdot \vec{\Omega}_{S/R_0} + m \overrightarrow{AO_s} \wedge (\vec{\Omega}_{S/R_0} \wedge \overrightarrow{O_s G})$$

La relation se simplifie considérablement si :

$$\begin{cases} O_s = G & (\text{environ 9 cas sur 10}) \\ A = O_s = G & (\text{environ 1 cas sur 2}) \quad \text{alors} \quad \vec{\sigma}_{(G,S/R_0)} = \bar{I}_{(G,S)} \cdot \vec{\Omega}_{S/R_0} \end{cases}$$

72

Etude n°3

$$\bar{I}_{(O_s,S)} = \begin{pmatrix} A & -F & -E \\ B & -D & C \\ \triangle & & \end{pmatrix} \quad \begin{cases} A, B, C \text{ les moments d'inertie} & [kg \cdot m^2] \\ D, E, F \text{ les produits d'inertie} & [kg \cdot m^2] \end{cases}$$

Remarques :

- Selon la géométrie de S et selon la base $\vec{x}, \vec{y}, \vec{z}$ utilisée, les termes peuvent être nuls.
- $\bar{I}_{(O_s,S)}$ est symétrique, donc elle est diagonalisable.
- Si $D = E = F = 0$ $(\vec{x}, \vec{y}, \vec{z})$ est alors la base principale de S



\vec{u} et \bar{I} doivent être exprimés dans la même base. Sinon :

- soit on change \bar{I} de base en utilisant des matrices de passage,
- soit on change \vec{u} de base par simple projection.

73

Etude n°3

Théorème de HUYGENS

Rappel : G = centre d'inertie
 O_S = centre du repère attaché à S .

dans 90% des cas, $G = O_S$.

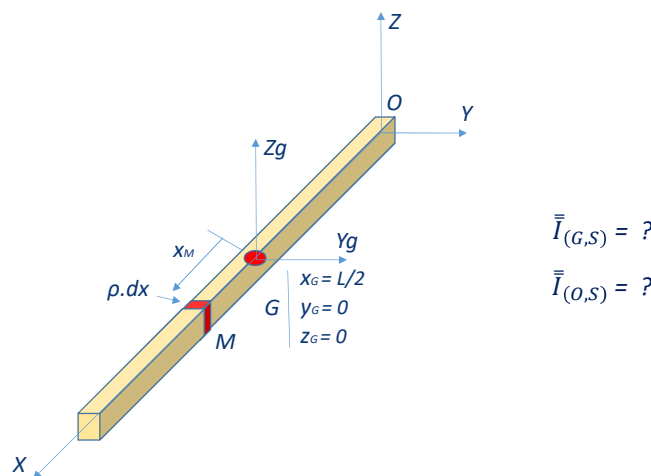
Sinon :

$$\bar{I}_{(O_S, S)} \cdot = \bar{I}_{(G, S)} + \bar{I}_{(O_S, G(m))}$$

\Leftrightarrow On attache toute la masse de S au point G

74

Exemple



$$\bar{I}_{(G, S)} = ?$$

$$\bar{I}_{(O, S)} = ?$$

75